

波浪の間接観測法と直接観測法の比較について

運輸省第二港湾建設局名洗港工事事務所 技官 青 島 栄 次
全 津 田 來

要
目

- I 名洗港の概況
 - II 観測機械
 - 1. 水圧式波高計
 - 2. 追測式波高計
 - 3. 地上標定機
 - III 観測の実施
 - 1. 観測位置及機械の設置
 - 2. 観測要領及整理
 - 3. 観測日時

次

- IV 観測結果

 1. 記録例
 2. 波高補正係数について
 3. 波高の比較
 4. 周期の比較
 5. 種々の特性波

V 追測式波高計に対する所見

VI 結 言

四

防波堤の計画設計並びに施工に当つて、波浪の観測は最も基本的な業務である。

名古港は昭和27年に工事着手以来、トランシットによる目測式の観測を行つて来たが、波の理論が急速に進歩して来た現在では、波形の連続記録を取らねば波の特性を調べるには充分となつた。運輸技術研究所ではこの目的に水压式波高計を試作し、現地観測用として我国の港湾に於ける波浪観測法は確立された。

当港に於ても昭和29年以来これを用いて観測を行つて来た。然し水圧式波高計は海底水圧の変化から表面波高を間接的に求める点に難色があると云われている。

この関係を確めるには撮影機による対比が一番正確であるが、整理に莫大な時間を要して経済的にも困難であるので、当港では水压式波高計と同時記録せしめ得る追測式波高計を作りその対比を試みた。尚誤差のチェック用として地上測定機を併用した。以下はその方法の概要と観測結果について述べたものである。

I 名洗港の概況

名洗瀬は図-1.(a)、図-1.(b)に示す様に、千葉県の東端犬吠岬の名で知られた銚子半島の南側に位置する。

図-1(a) 大勢港洗浄名圖

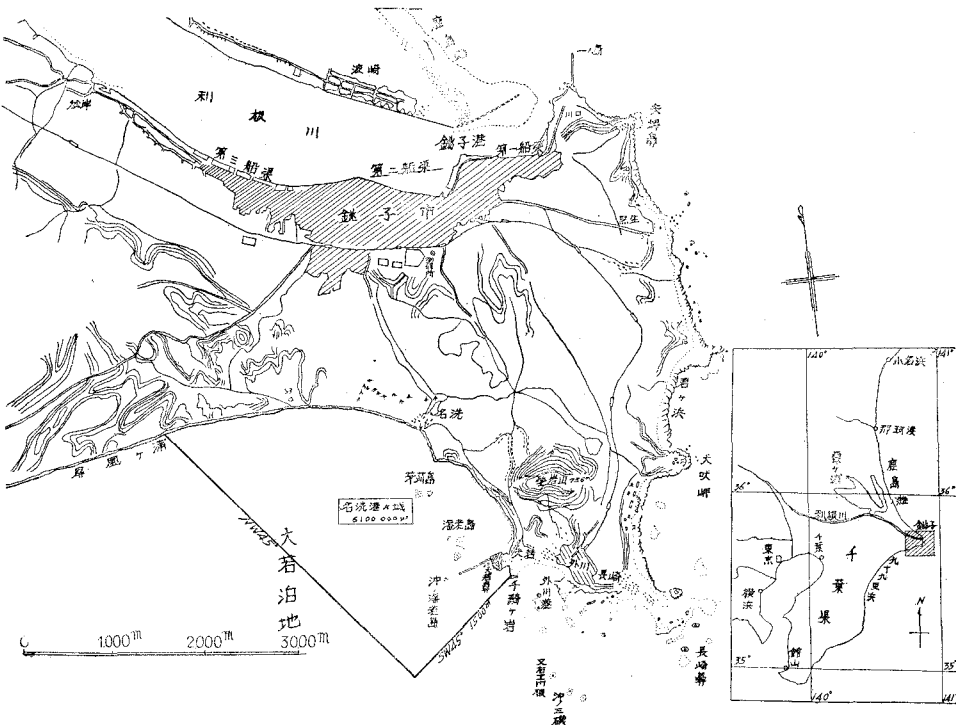
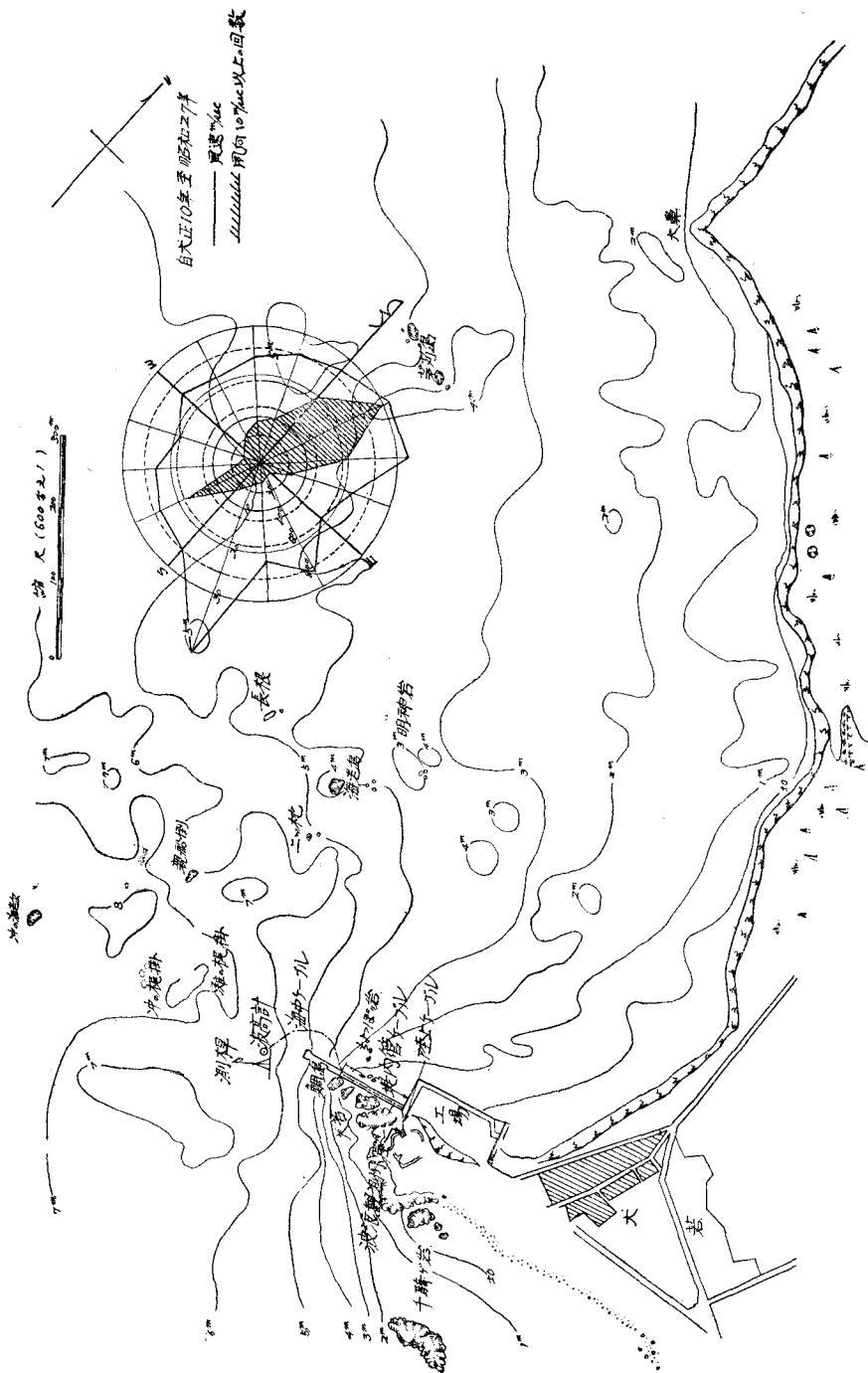


図-1(b) 名洗港平面図



東側は突出せる長崎鼻に擁せられ、北より西に亘り断崖連る屏風ヶ浦が屹立し、之に続いた九十九里浜が南西を遠く擁している。然し南は太平洋に曝され、銚子半島の近海は気象の変化激しく船舶の遭難が少くない。風速 10m/s 以上に達する暴風は年平均140日に達し、この内、北系が20%，南系が60%で主として台風に依るものである。北よりの波浪は長崎鼻を経て大きく回つて来る回 ondeで、等深線に平行に走るため何段にもわたり砕けて減衰してくる。周期は10~14秒で比較的長い。南よりの波浪は真向から侵入し強大なる波は台風時に多い。周期は 8 秒~10秒で海底勾配は緩やか(約1/200)で相当遠方より碎波を生じている。

II 觀測機械

1. 水压式波高計

この波高計の説明は運輸技術研究所報告「波高計による波浪の観測」1～3報に詳述されているが要点のみ説明する。

(1) 測定の原理

水深 D なる海面に波高 H , 波長 L , 周期 T の波が進行する場合, 海底に於て同一の周期と位相を以つて圧力変動を生ずる。これを ψ で示すとすれば

$$p = \frac{\gamma H}{\cosh^2 \frac{2\pi D}{L}} \quad (\gamma: \text{海水の単位重量})$$

となる

$$\therefore H = \frac{1}{\gamma} \cosh \frac{2\pi D}{L} \cdot p$$

この関係から、海底圧力変動により表面波の波高を間接的に求める事が出来る。

(2) 動作原理

図-2に示す様にゴム袋 A が水圧圧力 μ に応じて圧縮され、圧力が B ホースを通じて C ベロを伸縮する。この量を D の挺子で拡大し、E の摺動抵抗器により電気量の変化とし、3芯ケーブルにより陸上の記録器に接続して記録を行うものである。潮汐の如き長周期の圧力変動は、F の空気漏洩孔より本体 G に入り、

C と **G** がバランスして針は振れない。又設置に際しての圧力急増は、機械を吊り下げる事により開くバルブ **H**により、本体 **C** と **A** が直通になり圧力がバランスして針は振れない。機械が海底に達するとバルブは閉じ、波高による圧力変化のみが記録される。

2. 追測式波高計

この波高計は、トランシットの望遠鏡の先端に水圧式波

一

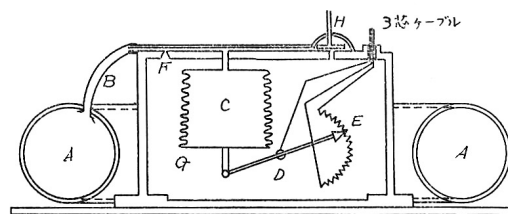


図-3(a) 追測式波高計の装置説明

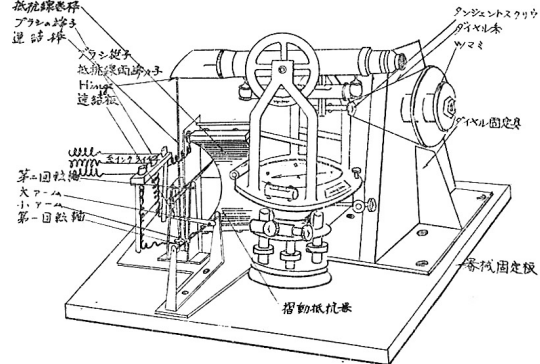
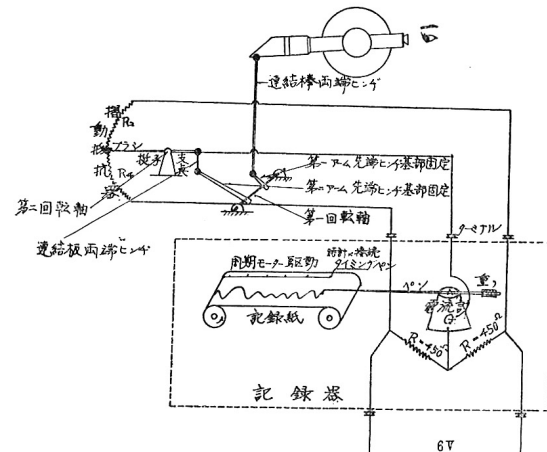
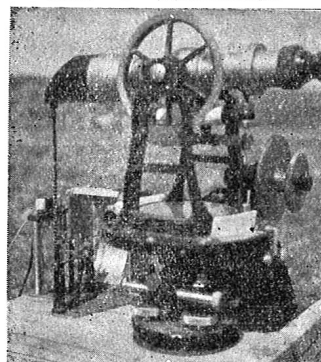


図-3(b) 追測式波高計機構説明図



寫眞—1 追測式波高計

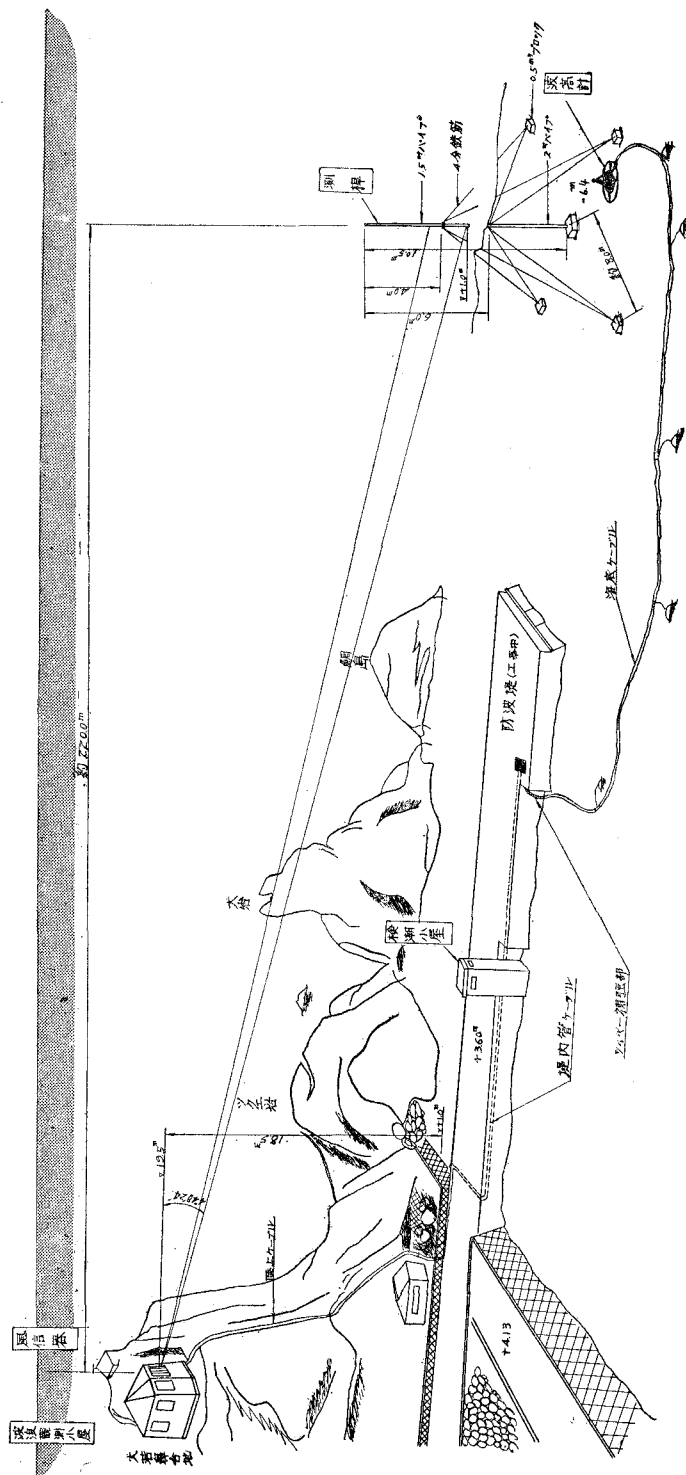


實質—？ 地上標定機



計高の摺動抵抗部を直結し、トランシットにて表面標を追跡する事により、望遠鏡の先端の上下運動を拡大すると共に抵抗の変化に替え、これを水圧式波高計の記録器に導き、水圧式波高計と同時記録が出来る様にしたものである（図-3 a-b）。北海道開発局土木試験所宇田氏も、これと同じ原理でトランシットの微動ネジの移動量を拡大伝導して波形を記録する方法を発表されている。宇田氏の方式は波浪の一般的観測には簡便で都合が良いが、現在各所で使われている水圧式波高計との関連を求めるに於いて、当工事各務所では追測式波高計により両者を関連付ける事を考えたのである。海面目標には浮漂を使つたが流されるので測桿を使用している（図-4 寫真-4）。望遠鏡の上下動は、垂直微動ネジとその脇に取付けたブーリーとの間に糸を渡し、ツマミを回して行つた。記録部の回路は図-3,b に示す様に R_1 , R_2 , R_3 , R_4 のブリッヂ回路を形成し、 R_2 , R_4 の変化量に比例した電流が電流計 G に流れ、 G の振れが記録紙に記される。測定電源としては 6V のバッテリーを用い、固定抵抗 R_1 , R_3 は 450Ω である。又電流計は内部抵抗約 555Ω 、感度は約 $4.5\text{mm}/\text{mA}$ で、記録紙の送り速度は毎分 11.5cm 程度、タイムマークは 30 秒毎に入る様ルロア型電気時計に接続してある。この波高計の精度は測者の熟練の度合と精神的肉体的諸条件、波浪の状況に左右されるから地上標定機を併用している。機械の検定は測桿に予め印した 50cm 毎の目盛を順次規

四、波瀾訓練圖



準し、その時の記録紙の振巾を読み取つて検定曲線を作成した(図-5)。検定線は曲線になるので、記録振巾は電流計の電流零の時のペンの位置を基準とし、上下6回に亘つて測定してある。その最大誤差は10cmであった。(測桿との距離は約220mである)。

3. 地上標定機(寫眞-2,3)

器械の構造はトランシットと同じであるが、視野が広く、レンズは縦横共に中心より40度の目盛が切つてあり、1度目盛は100mの距離に付き10cmを狭む様になつてゐる。検定は陸上で適當な距離を以て確め、尚測桿の50cm毎の目盛に対してもチェックした。

Ⅲ 観測の実施

1. 観測位置及機械の設置

図-1,bと図-4に示す様に、測点は防波堤法線上210mの所の港外側25mの地点で、水圧式波高計は測桿の胸に約5m離して設置してある。故に波は初め測桿を通過しそれから波高計に感ずるので、記録には

寫眞-3 地上標定機にて測桿を観準

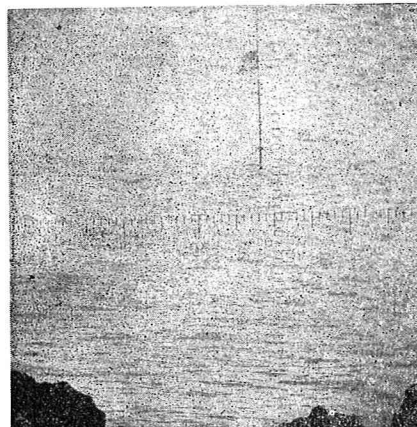
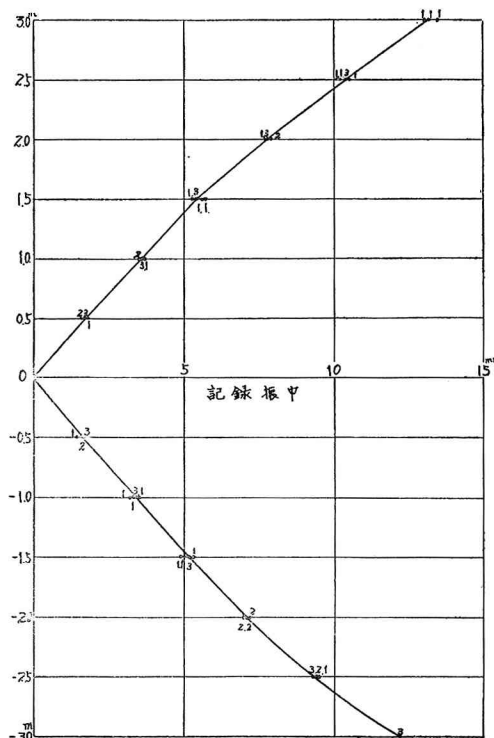
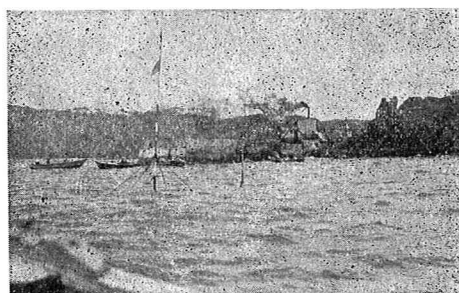


図-5 検定曲線



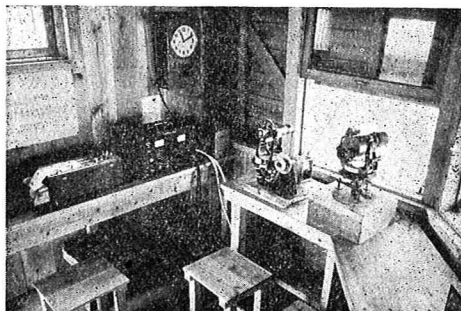
寫眞-4 測 桿



寫眞-5 水圧式波高計組立



寫眞-6 觀測小門



それだけ時間の流れを生ずる。ケーブルは港内側を迂回して設置し、約 30m 毎に 20~30kg の石をアンカーとしてある。防波堤への立上り部は一番いためられるので、古ワイヤーを防波堤よりアンカーで垂らし、これにそわせてマーレンで結びつけた。堤内は埋設したヒューム管内を通し、山の上の観測小屋まで導いてある。観測小屋には追測式波高計、地上標定機、記録器、電接時計、インバーター、蓄電池、充電器を配してある（写真-6）。

観測高は海面上約 18.5m 測桿迄の距離は約 220m、伏角約 5° である。波の進向方向は北系、南系の波共は視線に直角であるので観測には始都合である。

2. 観測要領及整理

追測式波高計の観測者は、観測に先だって望遠鏡を電流 0 になる位置に合せ、次に機械を固定板共動かして測桿を視準し、波形のゼロ線に大体ヘアが合う様に据える。準備が出来たら追測式と地上標定機の観測者は共に観測を始め、順調になつてから記録者が記録器のスイッチを入れ、地上標定機観測者の連呼する読み数を記録波形に記入していく。指揮者は測桿附近の海面を見て、碎波の通過、大波の入り来、経過時間等を観測者に知らせて観測を容易にする。記録の読み取りは、運研報告第 5 卷第 5 号 p. 6 に記されている内の第 4 の方法によつた。それは波形のゼロ線を基準とし、波形曲線がゼロ線を上に向つて切る点から次に上に向つて切る点までの間隔を以つて周期とし、この区間内の最大点と最小点の垂直距離を以つて振巾とする方法である。ゼロ線を切らない波形は捨てる。波高の換算は水圧式波高計は計算図表を使い、追測式は検定曲線を使って行つた。

3. 観測日時

昭和 31 年 3 月 17 日 13 時、3 月 19 日 10 時、6 月 13 日 9 時、4 回に亘り対比を行つた。但し 6 月 13 日は地上標定機は併用していない。観測時の気象状況は大略表-1 の様であつた。

表 - 1

日 時	風 向	風 速	潮 沙	気 圧	天 气 總 情	海 面 狀 態
3 月 17 日 13 時	SW	16.8m	最 下 潮 時 潮位 0.21m	1,013mb	日本海北部に 996mb の低気圧があり此れに依る等圧線が当地を南西に長く走つている	周期 9 秒 波長 75m 波向 SW 30° 海面一面白波
3 月 19 日 10 時	SSW	14.2 "	落 潮 潮位 1.00m	1,012 "	三陸沖と九州に低気圧があり太平洋と沿岸州方面は高気圧に被れていた。当地の等圧線は南西に走り不連続線が本州を離断している	周期 6 秒 波長 38m 波向 SW 20° 海面白波を見る。碎波時々通過
6 月 13 日 9 時	W	0.7 "	落 潮 潮位 1.14m	997 "	三陸沖に低気圧があり此れより弱い不連続線が南西に伸びておつた。	周期 8 秒 波長 53m 波向 SE 20° 海面時々白波を生ず
9 月 4 日 10 時	NNE	2.6 "	最 中 潮 時 潮位 0.26m	1,012 "	台風 12 号が硫黄島附近で発達しながら西にゆづり込み本州は北方より高気圧に覆われており静穏であつた	周期 11 秒 波長 88m SE 方向より波頂線をそろえ碎波を見すきれいに侵入して来る波浪であつた。

IV 観測結果

1. 記録例

図-6 は水圧式と追測式の同時記録の一部を示したものである。水圧式は曲線がスムースに記され小波は判然とは表れない。追測式は小波も記録され、記録を各々別に整理すると追測式の方が波数が多くなる。水圧式の振巾は、段状になる合成波やうねりの様な周期の長い波には振が小さく、5~6 ケ連続して来る波形勾配の急な波には大きく振れる様である。追測式の操作は手動であるから多少遅れて記録される。然し長周期の波浪は殆んど一致させ得る。現地波を見ていると一時波高が低くなる時があり、その後高い波が続いて来襲し又低いのが続き、3 月 19 日、6 月 13 日、9 月 14 日にもこの傾向が見られ、9 月 4 日のうねりは特に顕著であつた。周期は 3~4 分程度である。3 月 17 日の波浪には判然と表れていない。

2. 波高補正係数について

水圧式波高計にて記録された波形は水底圧力の変動であるから、これを表面波形に換算するには水底圧力変動と表面での圧力の変動との比を用いて波高を換算する。然しこれから求めた波高は、直接表面波を測定した値より過小な値を示す。この比を波高補正係数と云う。この原因については運研報告「波高計による波浪の観測(第 2 報)」に詳述されているが、理論的に不明の点が多く現段階では比較観測により決定する外なく、通常 1.1~1.5 であると云われている。一般に $n=1.35$ を使用している所が多い。

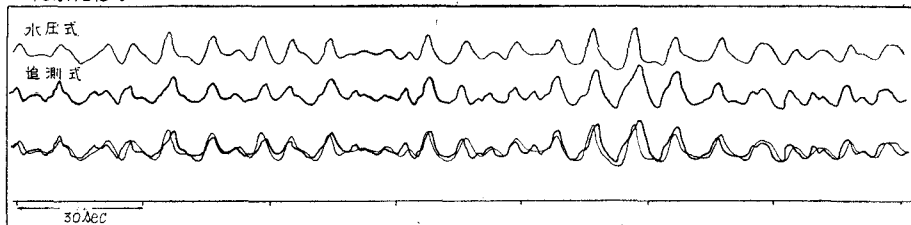
3. 波高の比較

図-7 には地上標定機と水圧式及追測式の関係を示した。整理には明かに誤測と思われたものは除いて統計してある。誤測した波数は読取った波数の 28% (3 月 17 日)、15% (3 月 19 日)、7% (9 月 4 日) であつた。水圧式波高計の値は相当の散乱を示し波高補正係数 n の値は 0.8~2.2 の範囲にある。

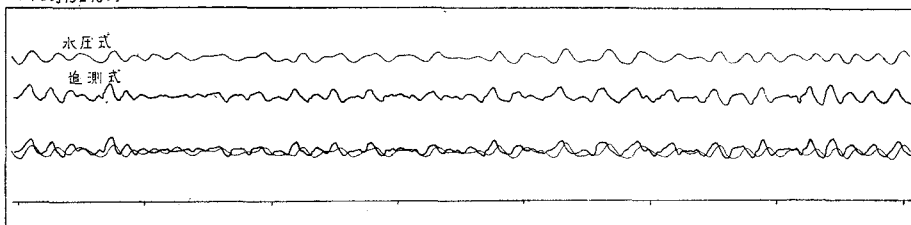
4. 周期の比較

図-6 記録例

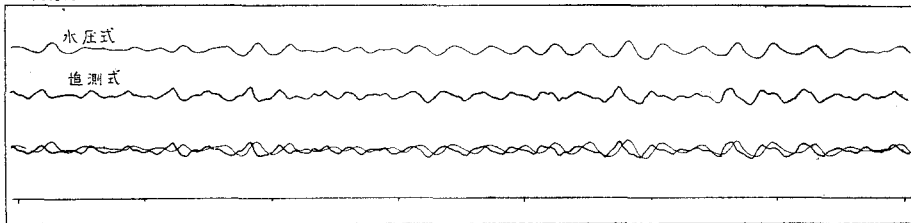
31年3月17日13時



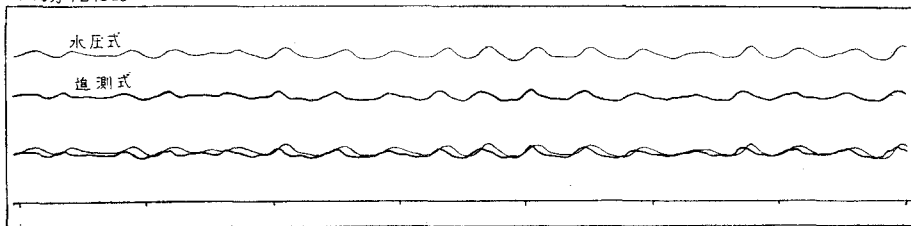
31年3月19日10時



31年6月13日9時



31年9月4日10時



水圧式と追測式の観測値について比較すると大体に於て一致している。現地波浪観測としてこの程度ならば差支えないと思う。

5. 種々の特性波

Sverdrup & Munk の提唱による特性波に依る方法で観測値を整理すると表-2の様になる。

表-2より波高補正係数の値を求め、 $\frac{1}{n}$ 最大波の周期との関係を図示すると図-8の様になつた。3月19日10時、6月13日9時、9月4日10時の波高は殆んど同じであるので、此の3つについて見ると周期の大なる程の値が大きくなつてゐる。波高が増大すると周期は同じでも、波形勾配が急になるので、 n の値は小さくなる様に思われる。各特性波を $\frac{1}{n}$ 最大波を1として求めると次の様になつた。(表-3)

V 追測式波高計に対する所見

本波高計を使用して気付いた事を記すと次の様なものである。

(1) 記録は多少時間のづれを生ずる。

測桿と水圧式波高計の位置の関係で、追測式波高計による記録の方が先に記録されるわけであるが、水圧式より遅れて記録される場合もある(図-7)。

(2) 記録波数は水圧式の記録よりも多く記録される。

追測式は短周期の小波も記録されるため水圧式よりも波数が多く整理される。

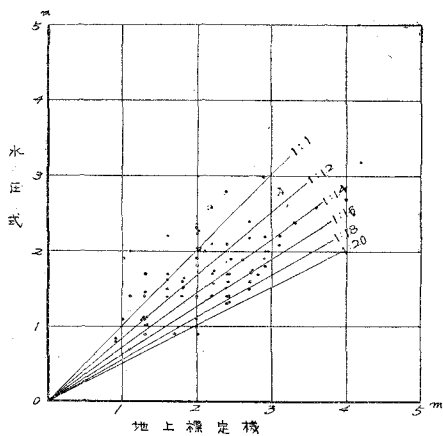
(3) 水圧式の様な補正係数を必要としない。

(4) 精度は観測者の熟練による。

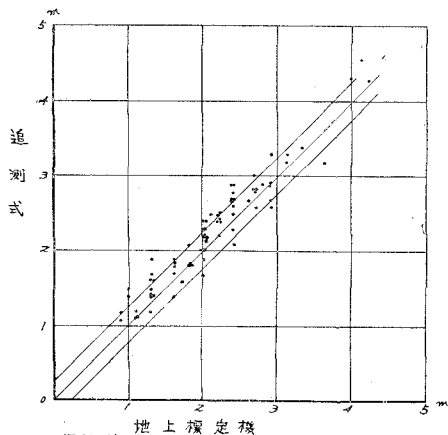
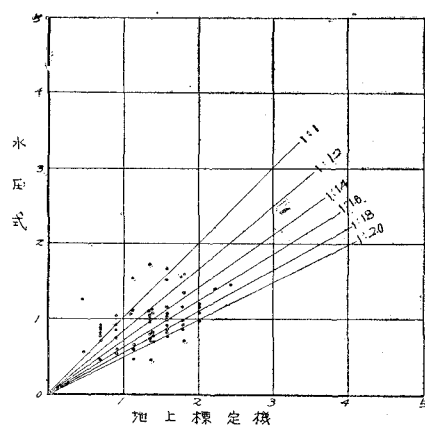
図一七 (a)

波高の比較

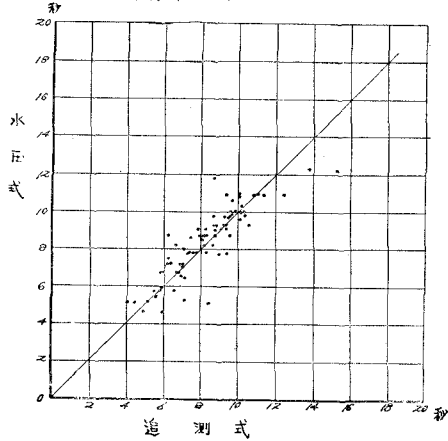
3月17日13時



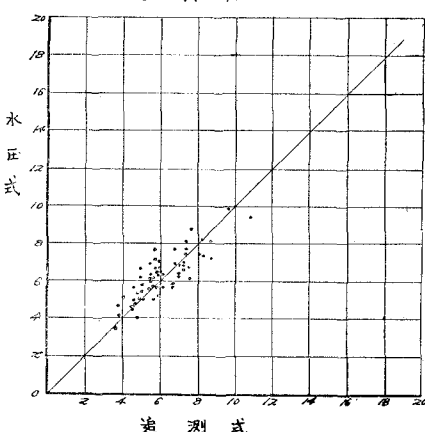
3月19日10時

周期の比較

3月17日13時

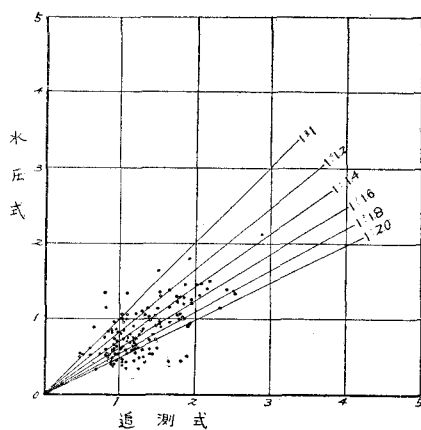


3月19日10時

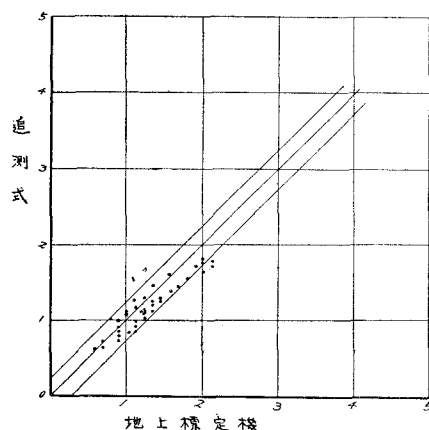
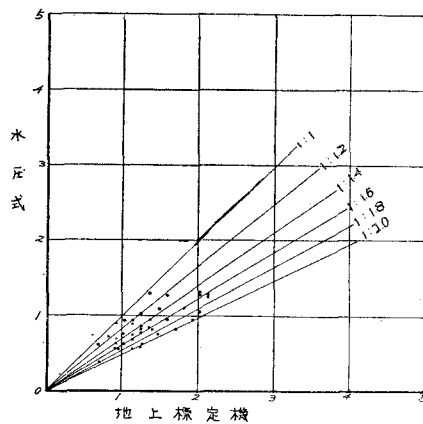


図一 7 (b)

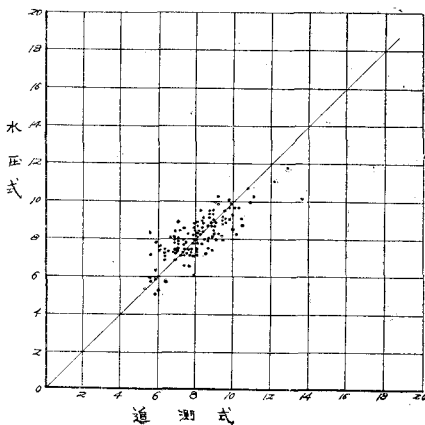
6月 13日 9時



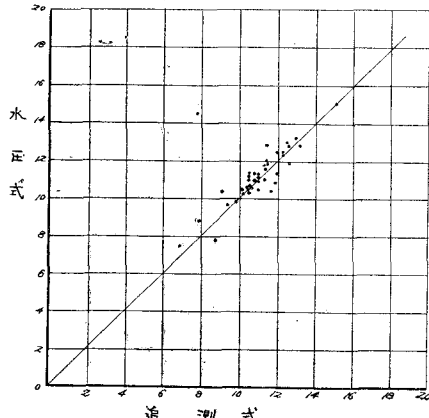
9月 4日 10時



6月 13日 9時



9月 4日 10時



表一 2

3月17日13時

波高	水圧式 波高計	追測式 波高計	地標 定上機	波高補正 係數(n)	周期	水圧式 波高計	追測式 波高計	摘要
最大波	3.7m	4.6m	4.4m	1.24	最大波	9.9秒	9.7	記録時間 17分
1/10最大波	2.9	3.9	3.7	1.28	1/10最大波	8.6	8.9	読み取り波数 100ヶ
1/3最大波	2.2	3.0	3.0	1.36	1/3最大波	9.0	9.0	整理波数 72ヶ
平均波	1.8	2.3	2.2	1.22	平均波	8.5	8.4	

3月19日10時

波高	水圧式 波高計	追測式 波高計	地標 定上機	波高補正 係數(n)	周期	水圧式 波高計	追測式 波高計	摘要
最大波	1.7	2.6	2.4	1.41	最大波	4.5	5.2	記録時間 13分
1/10最大波	1.6	2.3	2.1	1.31	1/10最大波	5.3	6.4	読み取り波数 69ヶ
1/3最大波	1.3	1.9	1.8	1.38	1/3最大波	6.1	6.2	整理波数 59ヶ
平均波	1.0	1.4	1.3	1.30	平均波	6.4	6.3	

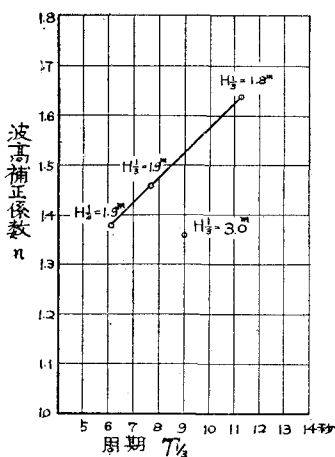
6月13日 9時

波高	水圧式 波高計	追測式 波高計	地標 定上機	波高補正 係數(n)	周期	水圧式 波高計	追測式 波高計	摘要
最大波	2.2	2.9		1.32	最大波	7.8	8.6	記録時間 24分
1/10最大波	1.5	2.2		1.46	1/10最大波	8.1	8.0	読み取り波数 134ヶ
1/3最大波	1.3	1.9		1.46	1/3最大波	7.9	7.6	整理波数 134ヶ
平均波	0.8	1.3		1.62	平均波	8.0	7.9	地上標定機使用せず

9月4日10時

波高	水圧式 波高計	追測式 波高計	地標 定上機	波高補正 係數(n)	周期	水圧式 波高計	追測式 波高計	摘要
最大波	1.3	1.8	2.1	1.61	最大波	11.0	12.0	記録時間 17分
1/10最大波	1.3	1.8	2.1	1.61	1/10最大波	11.5	11.5	読み取り波数 42ヶ
1/3最大波	1.1	1.6	1.8	1.64	1/3最大波	11.4	11.2	整理波数 39ヶ
平均波	0.6	1.2	1.3	1.44	平均波	11.2	11.0	

図一 8



表一 3

特性波	平均	3月17日	3月19日	6月13日	9月4日
最大波高 (H_{max})	1.37	1.46	1.33	1.53	1.17
1/10最大波高 ($H_{1/10}$)	1.18	1.23	1.16	1.16	1.17
1/3最大波高 ($H_{1/3}$)	1.00	1.00	1.00	1.00	1.00
平均波高 (H_m)	0.72	0.77	0.72	0.68	0.72

(地上標定機による値で示した)

(5) 夜間観測が出来ない。

測標にフロートを使い照明を行い研究して見度いと思う。

(6) 観測に適当な地形である事を要す。

(7) 測標の遠近により記録振巾の拡大率を変更出来る様改良すれば尚便別である。

(8) 望遠鏡の視野及び倍率の大きいものを使用すれば一層精度が高まり、観測も便利になる。

VI 緒言

本稿の観測に於ては、取纏めた資料の少い点が残念であるが、今後の各種の性格の波浪について水圧波形との比較データを取り整理してみ度いと思う。

本調査の現段階に於ては、現場に於ける波浪観測法としては充分満足出来る方法と思う。波浪の連続記録に対し、直接観測と間接観測の関連をつける事が出来得た事は、波浪観測法に対する一つの大なる収穫であると信ずる。

尚大方の御指導、御批判及び御援助を御願いする次第である。